

九州産業大学 正員○加納正道
山口大学 正員 浮田正夫
九州産業大学 正員 赤坂順三

1.まえがき 河川および海域における底質のまき上げ現象は水中工事、浚渫、洪水などの異常流速の場合に着目した解説がなされてきた。しかし、本報で取り扱う周防灘西部海域においては、工場廃水、都市排水の負荷が大きく灘のほぼ全域に底泥が形成されておりかつこの底泥の粒径と密度が小さい箇所があることおよび水深が比較的浅く潮流が速い箇所が多いことが作用して、定常状態の潮流によって底質のまき上げがおこり COD、N、Pなどの水質に影響を与えるようである。そこで、われわれは、採取した底質の粒度分析や底質コアの定性的なまき上げ試験を参考にして、底質のまき上げを導入した拡散シミュレーションにより現状 COD濃度を再現する試みをした。

2.解析の手法 海域における COD解析を、陸上負荷、沈殿、減衰、溶出、生産およびまき上げを考慮した拡散シミュレーションによりおこなう。図-1に示す海域を $1\text{ km} \times 1\text{ km}$ のメッシュに分割し、次式(1)を基礎式としその保存系項の数値計算方法は文献1)にのべた手法により解析する。

$$\frac{\partial(h)}{\partial t} = -U \frac{\partial(h)}{\partial x} - V \frac{\partial(h)}{\partial y} + \frac{\partial}{\partial x} \left\{ D_x \frac{\partial(h)}{\partial x} \right\} + \frac{\partial}{\partial y} \left\{ D_y \frac{\partial(h)}{\partial y} \right\}$$

$$- \bar{A}_C \cdot C - K_d \cdot C + g_C + R_C + Q_C + M_C \quad \dots \dots \dots (1)$$

C: COD濃度, h: 水深, \bar{A}_C : 沈降係数(%), K_d : 減衰係数(%), g_C : 陸上負荷(%), R_C : 溶出量(%/日), Q_C : 生産量(%/日), M_C : まき上げ量(%/日)

生産はプランクトンが P, N, C の無機質を CODへ合成生産することを意味し、これを評価する方法には i)△COD法²⁾と ii)生産速度法³⁾があるがここでは生産速度法を使用する。そして生産速度は海域一次生産量⁴⁾の考え方による。すなわち, $Q_C = 80/\text{h}$ (80 : 生産速度(%/日))⁵⁾ となる。つぎに、まき上げ量については、市街地河川の浮上量実験により限界掃流力と関連づけたもの⁶⁾、海域の底層流平衡時の鉛直拡散係数と関連づけたものなど2, 3の文献例はあるが、本解析にはそのままでは使用し難いのでつぎの方法によった。まき上げ量はまき上げて再沈殿する量をさし引いた正味の量とし $M_C = m_C/h$ (m_C : まき上げ速度($\text{kg}/\text{m}^2\text{日}$))⁷⁾ とする。この m_C は豊前海の実験によれば 80 とほぼ等しいので m_C の当初期値として 80 と等しく与える。これを図示すれば図-2となり、この当初期値による解析結果を図-3に示す。図-4に示す実測値と比較すれば全般的に解析濃度が低い。そこで、底質コアのまき上げ試験結果(表-1、図-5に示す)と底質表層 5 cm のフルイ分け試験(図-2に1部分を示す)および潮流速を勘案して図-6に示す修正まき上げ分布を与え、修正まき上げ速度による解析をおこなった。

3.解析結果および考察 修正まき上げ速度による COD濃度と実測 COD濃度を図-4により比較すれば、対象海域全域においてほぼ実測値と等しく

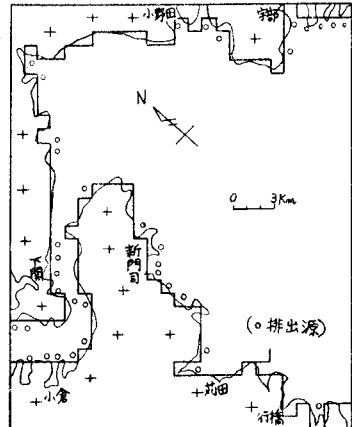


図-1 対象海域

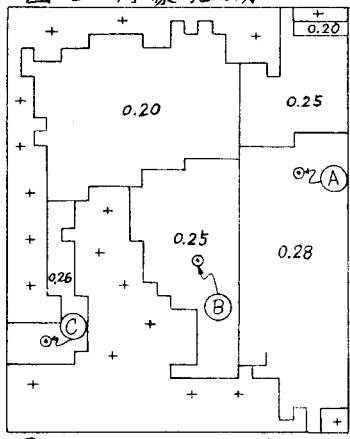
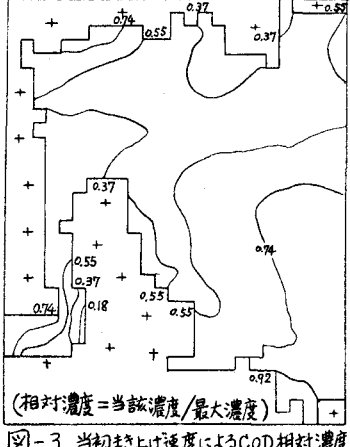
図-2 当初まき上げ速度 (m/s)

図-3 当初まき上げ速度による COD相対濃度

なっており現状濃度を解析により再現できた。この解析結果による COD 濃度 - 時間曲線を図-7 に示しているが、50潮時以上経過すればすべて定常濃度となっている。また、このときの修正まき上げ速度と当初まき上げ速度を図-2 と図-6 によって比較すれば、当初値は全海域でオーダーは等しくほぼ同じような値になっているのに対し修正値は最小値 0.01 ~ 最大値 1.20 の如くその値にかなり差がでている。この差は当海域のまき上げ量が地域によってかなり異なることを意味している。ここで、当海域の COD 濃度の場所による違いをみれば図-4 に斜線を入れて示した新門司沖地域が最大値を示している。最大 COD を与える原因を式(1)の諸元によって考察してみよう。減少側に作用する入の沈殿および K_d の減衰係数は水質底質調査結果などから他の地域より小さい理由はないようである。増加側に作用する R_c , R_e , Q_c , M_c のうち R_c の陸上よりの負荷は左側の下関や上側の小野田、守部の陸部より小さい値であり R_c の溶出や Q_c の生産は特に他の地域より大きい理由はないようである。しかし、 M_c のまき上げ量について表-1、図-5 の定性的なまき上げ試験や表-2 のフルイ分け試験結果に差がでていることからも推測されるように地域によって差がありうると考えられる。

ただし、当海域の調査研究は始めたばかりであって Q_c , K_d , 入などについても把握が充分とは言えないのを、図-6 に示す M_c の値にも検討の余地があると考える。

つぎに、筆者らの徳山湾の COD 解析⁷⁾と比較すれば、徳山湾では底質の粒度や潮流速が本報海域とは違うので、徳山湾のまき上げ速度は特に地域差を入れず沈降項において沈殿量とまき上げ浮上する量の差を考えることにより解釈することができた点が周防灘と異なっている。

参考文献

- 1) 加納・崎山: 湾域における汚濁物質の解析について、土木学会第4回環境問題シンポジウム講演集 1976
- 2) 中西・浮田: 海域における COD 生産について、用水と廃水 Vol.17 No.6 1975
- 3) 芦部他: 開鎖水域での水質シミュレーションの一考察、昭和51年度下水協議会講演集
- 4) 遠藤: 濱戸内海の一次生産に関する研究、J. Fac. Fish. Anim. Hub Hiroshima Univ 1970
- 5) 村岡・三浦: 底質汚泥の浮上と濁度に関する基礎的研究、土木学会第27回年講(第2部) 1972
- 6) 福田他: 濱戸内海環境保全に関する研究、環境庁 環境保全研究成果集(II) 1975
- 7) 加納・赤坂: 徳山湾における COD 濃度の数値解析について、土木学会西部支部 S52年年講 1978

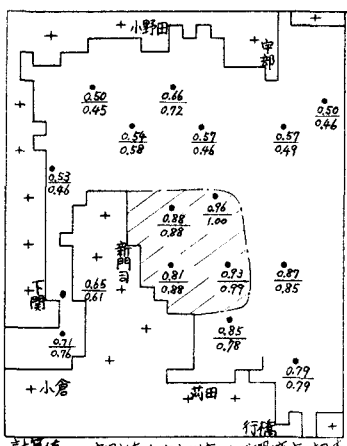


図-4 実測値と修正まき上げ速度による COD

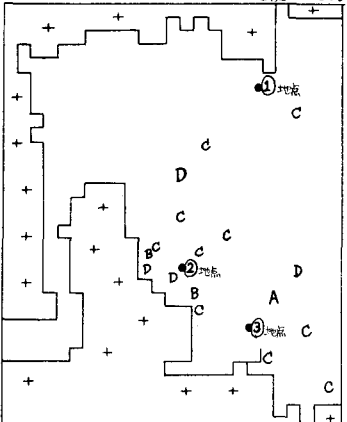


表-1 底質コアのまき上げ試験

まき上げ 流速	A B C D			
	まき上げ量			
2 cm/s	中	小	無	無
5 cm/s	大	中	小	無
10 cm/s	激	大	大	小

表-2 底泥表層 5cm のフルイ分け試験

粒径 分布	① ② ③		
	210 μm 以上	74 μm 以下	74 μm 以下
210 μm 以上	93.1%	7.8%	1.1%
74 μm 以下	5.1%	86.0%	98.2%

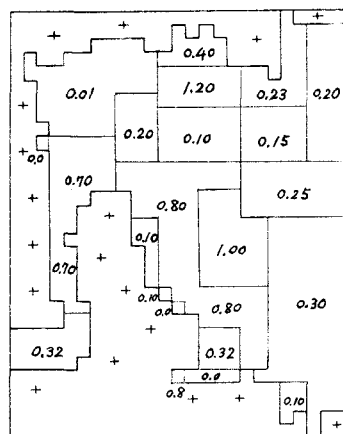


図-6 修正まき上げ速度 (%/日)

図-5 まき上げランク図

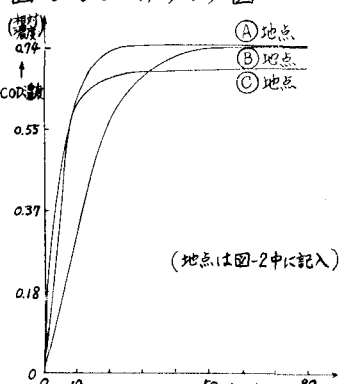


図-7 拡散解析による COD 時間曲線